

آنالیز انشعاب و دینامیک یک دستگاه دینامیکی از نوع لورنژ

بهناز رحمانی^{*}، رضا خوش‌سیر^{*}، محمد شفیع دهاقین، ندا آهن‌جیده؛
دانشگاه شهرکرد، دانشکده علوم ریاضی

دریافت ۹۶/۰۷/۱۷ پذیرش ۹۶/۰۶/۰۴

چکیده

در این مقاله دستگاه دینامیکی پیوسته از نوع لورنژ را در نظر می‌گیریم. رفتار دینامیکی این دستگاه از قبیل محاسبه نقاط انشعاب، انواع خم‌های انشعاب و محاسبه ضرایب فرم‌های نرمال متناظر با هر نقطه انشعاب را به‌طور تحلیلی و عددی محاسبه می‌کنیم. بهخصوص شرایط کافی برای وجود انشعاب هوپ و چنگال را بررسی و خاصیت زیر یا زبری‌حرانی بودن این انشعاب‌ها را به‌طور تحلیلی مشخص می‌کنیم. با استفاده از تکنیک شبیه‌سازی عددی نشان می‌دهیم که این دستگاه تحت شرایطی می‌تواند رفتار آشوبناک داشته باشد. با استفاده از تکنیک امتداد عددی ابتدا خم‌های انشعاب محاسبه می‌شود و سپس تمام نقاط انشعاب هم‌بعد یک و هم‌بعد دو روی این خم‌ها محاسبه و ضرایب فرم نرمال آن‌ها تعیین می‌شود.

واژه‌های کلیدی: دستگاه‌تی، انشعاب هوپ، انشعاب چنگال، فرم نرمال، ضریب اول لیاپونوف.

مقدمه

در این مقاله دستگاه دینامیکی از نوع لورنژ^۱ معرفی می‌شود که با وجود شباهت زیاد به دستگاه لورنژ، پیچیدگی بیشتری نسبت به آن نشان می‌دهد [۵]، [۷]، [۸]، [۱۱]. این دستگاه کاربردهای زیادی در ارتباطات امن دارد [۱۰]. ارتباطات امن باید اطمینان طرفهای درگیر در یک رابطه را حاصل کند. به عبارت دیگر باید از کاربران مخرب که سعی در جا زدن به جای دیگر احزاب، در گفتگو را دارند، محافظت شود. بسیاری از الگوریتم‌های رمزنگاری مدرن از این حملات محافظت می‌کنند [۳]. این دستگاه را اولین بار یانگ^۲ معرفی کرد که به دستگاه‌تی معروف شد [۸]. این دستگاه است از جنبه‌های مختلف بررسی شده است و دارای خواص پیچیده دینامیکی شامل انواع نقاط انشعاب از قبیل انشعاب چنگال، انشعاب هوپ، مدارهای هموکلینیک و هتروکلینیک و نیز رفتارهای آشوبی [۷]، [۸]. در این مقاله تمرکز روی محاسبه عددی خم‌های انشعاب و دورهای حدی آن است به‌طوری که این خم‌ها در پژوهش‌های پیشین محاسبه نشده‌اند، که در ادامه مختصراً از این روش را بیان می‌کنیم [۱]. دستگاه دینامیکی زمان-پیوسته وابسته به پارامتر (۱) را در نظر بگیرید:

$$(1) \quad x = f(x, \alpha) \quad x \in \mathbb{R}^n, \alpha \in \mathbb{R}^2$$

که در آن f یک تابع هموار وابسته به (x, α) است. آنالیز انشعاب این دستگاه به بررسی تغییر خم نقاط تعادل و دورهای حدی تحت تغییر یک یا دو پارامتر و محاسبه ضرایب صورت‌های نرمال متناظر به هر نقطه انشعاب است.

امتداد عددی نقاط تعادل و دورهای حدی. نقاط تعادل دستگاه (۱) در رابطه زیر با n هم‌ارزه اسکالر صدق می‌کند که در آن $x \in \mathbb{R}^{n+1}$ بردار متغیرهای حالت و $\alpha \in \mathbb{R}^p$ بردار پارامترها است.

$$f(x, \alpha) = 0,$$

چنین دستگاهی به‌طور معمول یک خم یک بعدی در \mathbb{R}^{n+1} را تشکیل می‌دهد که آن را با M نشان می‌دهیم که یک خم نقاط تعادل وابسته به پارامتر را مشخص می‌کند. مسئله یافتن خم M یک حالت خاص از مسئله عمومی‌تر امتداد، به‌معنای به‌دست آوردن یک خم در \mathbb{R}^{n+1} تعریف شده با n هم‌ارزه:

$$F(y) = 0, F: \mathbb{R}^{n+1} \rightarrow \mathbb{R}^n,$$

است. تعاریف و قضایای زیر را می‌توان در [۶] یافت.

تعریف ۱. نقطه $y_0 \in M$ را یک نقطه منظم گوییم هرگاه $\text{rank}(F_y(y_0)) = n$ باشد.

قضیه ۱. فرض کنید y_0 یک نقطه منظم از $F(y) = 0$ باشد. در این صورت در یک همسایگی y_0 ، خم جواب یک‌بعدی یکتای (s) به‌طوری که $y_0 = y(0)$ ، وجود دارد.

جواب عددی مسئله امتداد به‌معنای پیدا کردن یک دنباله از نقاط:

$$y_1, y_2, y_3, \dots$$

است به‌طوری که خم M را با دقت مورد نظر تخمین می‌زنند. نقطه اولیه y_0 به اندازه کافی نزدیک به خم M (یا روی خم) است و از این نقطه دنباله مورد نظر تولید می‌شود. در حالت نقطه تعادل، این نقطه معمولاً یکی از نقاط تعادل دستگاه در نظر گرفته می‌شود.

قضیه ۲ (خمینه مرکز): فرض کنیم $f: \mathbb{R}^n \rightarrow \mathbb{R}^n$ یک میدان برداری در C^{k+1} باشد ماتریس $A = Df(0)$ را در نظر می‌گیریم و فرض می‌کنیم V^c, V^u, V^s به ترتیب زیرفضاهای پایدار، ناپایدار و مرکز باشند. در این صورت $0 > \delta$ و یک مانیفلد مرکز موضعی \mathcal{M} با این خواص وجود دارد:

۱. یکتابع متعلق به C^k به صورت $\pi_c \emptyset(x_c) = x_c \in V^c \rightarrow \mathbb{R}^n$ با $x_c \in \mathcal{M}$ وجود دارد به‌طوری که:

$$\mathcal{M} = \{\emptyset(x_c) : x_c \in V^c, |x_c| < \delta\}$$

۲. خمینه \mathcal{M} به‌طور موضعی پایا است یعنی برای $x \in \mathcal{M}$ و $|t|$ کوچک داریم $\tilde{x}(t, x) \in \mathcal{M}$.

۳. \mathcal{M} در مبدأ بر V^c مماس است.

۴. هر مدار کراندار سراسری که در یک همسایگی کوچک مناسبی از مبدأ قرار داشته باشد به‌طور کامل در درون \mathcal{M} قرار می‌گیرد.

۵. بر هر مسیر داده شده به‌طوری که $x(t) \in \mathcal{M}$ وقتی $t \rightarrow +\infty$ و $t \rightarrow -\infty$ و یک مسیر $y(t) \in \mathcal{M}$ را داشت $y(t) \rightarrow 0$ را دارد به‌طوری که:

$$e^{\eta t} |x(t) - y(t)| \rightarrow 0, \quad t \rightarrow +\infty.$$

تعریف ۲. انشعاب متناظر با ظهر یک جفت مقدار ویژه موهومی محض را انشعاب هوپف می‌نامند.

تعریف ۳. انشعاب چنگال زمانی رخ می‌دهد که مدار پایدار به ناپایدار تبدیل شود و در عوض یک جفت مدار پایدار ظاهر شود یا برعکس. این انشعاب دو نوع زیربحراتی و زیربحراتی دارد.

امتداد انشعاب‌های هم بعد ۱ نقاط تعادل. دستگاه دینامیکی زمان- پیوسته

$$\dot{x} = f(x, \alpha) \quad x \in \mathbb{R}^n, \alpha \in \mathbb{R}^2$$

را در نظر بگیرید. از دستگاه همارزات

$$\begin{cases} f(x, \alpha) = 0 \\ \det(2A(x, \alpha) \odot I_n) = 0 \end{cases}$$

می‌توان برای امتداد انشعاب هوپف استفاده کرد. دستگاه مذکور شامل $n+1$ همارزه و $n+2$ مجھول‌اند. این دستگاه‌های حداقل توسعه داده شده می‌نماییم زیرا بعد مسئله امتداد نقطه تعادل، یک واحد بیشتر است.

امتداد انشعاب‌های هم بعد ۱ یک دور حدی [2]. از گسسته‌سازی دستگاه

$$\begin{cases} x(t) - Tf(x(t), \alpha) = 0, & t \in [0, 1] \\ x(0) - x(1) = 0, \\ \int_0^1 \langle x(t), \dot{x}_{\text{old}}(t) \rangle dt = 0, \end{cases} \quad (2)$$

که در آن x_{old} یک جواب دوره‌ای معلوم با دوره تناوب ۱ است، برای پیدا کردن و امتداد دور حدی مسئله (۱) استفاده می‌شود. همارزه تغییر اساسی

$$\dot{X} - Tf_x(x(t), \alpha) X = 0, \quad (3)$$

و همارزه الحاقی

$$\dot{X} - Tf_x^T(x(t), \alpha) X = 0, \quad (4)$$

را در نظر بگیریم. جواب ماتریسی اساسی همارزه (۳) را با $\phi(t) = I_n$ نشان می‌دهیم که در آن I_n ماتریس همانی است. در این صورت (۱) ϕ ماتریس تک مداری از جواب دوره‌ای است و همواره دارای یک مقدار ویژه ۱ است. بردار ویژه نظیر این مقدار ویژه را با q_0 یعنی $0 = I_n - I_n(\phi)$ در نظر می‌گیریم. بهطور مشابه جواب ماتریس اساسی (۴) را با ψ نشان می‌دهیم بهطوری که $I_n = \psi(0)$ است، و بردار ویژه نظیر مقدار ویژه ۱ آن را با p_0 نمایش می‌دهیم. این بردارها را می‌توان بهصورت نرمال در نظر گرفت یعنی $\langle p_0, q_0 \rangle = \langle q_0, q_0 \rangle = 1$ ، بهطوری که $\langle \cdot, \cdot \rangle$ ضرب داخلی اسکالر معمولی در \mathbb{R}^n است.

انشعاب فلد دورهای حدی^۱ [2]. بهطورکلی نقطه حدی دورها متناظر با نقطه عطف خم‌های دورهای دورهای حدی است که با اضافه کردن محدودیت $G=0$ به رابطه (۲) مشخص می‌شود. مسئله مقدار مرزی^۲ یک نقطه دورهای حدی با استفاده از دستگاه بسط داده شده مینیمم بدهی صورت است:

$$\begin{cases} \frac{dx}{dt} - Tf(x, \alpha) = 0 \\ x(0) - x(1) = 0 \\ \int_0^1 \langle x(t), \dot{x}_{\text{old}}(t) \rangle dt = 0 \\ G[x, T, \alpha] = 0 \end{cases}$$

تعریف می‌شود که در آن G تابع آزمون مشخص شده بدهی صورت است:

1. Limit Point Cycle (LPC)
2. Boundary Value Problem(BVP)

$$N_2 \begin{pmatrix} v \\ S \\ G \end{pmatrix} = \begin{pmatrix} 0 \\ 0 \\ 0 \\ 1 \end{pmatrix}$$

که در اینجا v یک تابع، S و G دو بردار هستند و نیز داریم:

$$N_2 = \begin{bmatrix} D-Tf_x(x(0), a) & -f(x(0), a) & w_{01} \\ \delta_1 - \delta_0 & 0 & w_{02} \\ \text{Int}_{f(x(0), a)} & 0 & w_{03} \\ \text{Int}_{v_{01}} & v_{02} & 0 \end{bmatrix}.$$

تابع مرزی w_{01} و بردار w_{02} و اسکالرها w_{03} و v_{02} به گونه‌ای انتخاب شدند که N_2 نامنفرد باشد. در ماتریس فوق Int تابع جزء صحیح است.

معرفی دستگاه از نوع لورنزو و محاسبه نقاط تعادل آن

دستگاه از نوع لورنزو یک دستگاه دینامیکی خودگردان سه بعدی بدین صورت است:

$$\begin{cases} \dot{x} = a(y-x) \\ \dot{y} = (c-a)x - axz \\ \dot{z} = xy - bz, \end{cases} \quad (5)$$

که در آن a , b و c پارامترهای حقیقی‌اند و $a \neq 0$.

نتایج زیر که عموماً بدون اثبات در [3] آمده است با اثبات و جزئیات بیشتر، یادآوری می‌کنیم. در لم ۱ به بررسی نقاط تعادل دستگاه می‌پردازیم.

لم ۱. اگر $b \neq 0$ و $b < 0$ ، آن‌گاه دستگاه (5) تنها دارای یک نقطه تعادل $O=(0,0,0)$ است. همچنین اگر

$E_1 = (x_0, y_0, z_0)$, $O = (0,0,0)$, $O = (0,0,0)$, آن‌گاه این دستگاه دارای سه نقطه تعادل $(c-a)/a > 0$

$$z_0 = \frac{c-a}{a}, \quad x_0 = y_0 = \sqrt{\frac{b}{a}(c-a)}$$

اثبات. نقاط تعادل دستگاه (5) عبارتند از جواب دستگاه زیر:

$$\begin{cases} a(y-x)=0 \\ (c-a)x - axz=0 \\ xy - bz=0 \end{cases}$$

با ضرب طرفین رابطه دوم در $b \neq 0$ و جای‌گذاری $b = \frac{xy}{z}$ از هم‌ارزه سوم، در طرف راست رابطه داریم:

$$\frac{b}{a}(c-a)x = x^2y$$

از رابطه $y=x$ داریم:

$$x[x^2 - \frac{b}{a}(c-a)] = 0$$

اگر $\frac{b}{a}(c-a) < 0$ آن‌گاه $x=0$ و در نتیجه $y=z=0$ پس $O=(0,0,0)$ یک نقطه تعادل است.

حال اگر $\frac{b}{a}(c-a) > 0$ آن‌گاه دو نقطه تعادل دیگر بدین صورت هستند:

$$x = y = \pm \sqrt{\frac{b}{a}(c-a)}, \quad z = \frac{c-a}{a}$$

لم ۲. آ) اگر $a > 0$ و $c < a < b > 0$ ، آن‌گاه $O=(0,0,0)$ به‌طور مجانبی پایدار است.
ب) اگر $b < 0$ یا $a < 0$ یا $c > a > 0$ یا $a < 0$ یا $c < a < 0$ آن‌گاه $O=(0,0,0)$ ناپایدار است.

اثبات. آ) با خطی‌سازی دستگاه (۵) حول نقطه O داریم:

$$J_0 = \begin{bmatrix} -a & a & 0 \\ c-a & 0 & 0 \\ 0 & 0 & -b \end{bmatrix}$$

چندجمله‌ای مشخصه متناظر با J_0 بدین صورت به دست می‌آید:

$$f(\lambda) = -(-\lambda + b)(\lambda^2 + a\lambda + a(a - c))$$

که دارای این ریشه‌ها است:

$$\lambda_1 = -b, \lambda_{2,3} = \frac{-a \pm \sqrt{4ac - 3a^2}}{2}$$

طبق فرض $0 < b < a$ برای بحث روی علامت قسمت حقیقی مقادیر ویژه $\lambda_{2,3}$ حالات زیر را در نظر می‌گیریم:

(۱) اگر $0 < 4ac - 3a^2 < a$ ، آن‌گاه به صورت مختلط در می‌آید. از این‌رو، قسمت حقیقی $\lambda_{2,3}$ ، $-a$ -می‌شود که طبق فرض منفی است.

(۲) اگر $4ac - 3a^2 > a$ آن‌گاه با توجه به $c < a$ داریم:

$$a^2 < 4ac - 3a^2$$

یا به‌طور همان‌راز

$$\sqrt{4ac - 3a^2} < |a| = a$$

به این ترتیب با توجه به

$$\sqrt{4ac - 3a^2} < a$$

نتیجه می‌شود $\lambda_2 < 0$ و برای رابطه

$$-\sqrt{4ac - 3a^2} < a$$

نتیجه می‌شود $\lambda_3 < 0$

ب) یادآوری می‌کنیم اگر یکی از مقادیر ویژه حاصل از خطی‌سازی در مبدأ مثبت باشد، آن‌گاه مبدأ نقطه تعادل ناپایدار می‌شود. با توجه به این نکته، چون طبق فرض $b < a < 0$ برای $b < 0$ پس $\lambda_1 = -b > 0$ مجدداً به بررسی مثبت یا منفی بودن زیر رادیکال می‌پردازیم. اگر عبارت زیر رادیکال مثبت باشد و با توجه به منفی بودن a ، آن‌گاه $\lambda_2 = \frac{-a + \sqrt{4ac - 3a^2}}{2}$ مثبت می‌شود و اگر عبارت زیر رادیکال منفی باشد، پس $\lambda_2 < 0$ و λ_3 دارای قسمت‌های حقیقی مثبت می‌شوند.

و برای $a > 0$ و $c > a$ داریم $\sqrt{4ac - 3a^2} > |a| = a$ یا به‌طور همان‌راز $4ac - 3a^2 > a^2$ که در این صورت $\lambda_2 > 0$

قضیه ۳

$$a+b>0, ab(c-a)>0, b(2a^2+bc-ac)>0$$

آن‌گاه به‌طور مجانبی پایدار می‌شوند.

اثبات. هم‌ارزه مشخصه ماتریس ژاکوبی

$$J_0 = \left[\frac{\partial f}{\partial x}, \frac{\partial f}{\partial y}, \frac{\partial f}{\partial z} \right] = \begin{bmatrix} -a & a & 0 \\ 0 & 0 & -a \sqrt{\frac{b}{a}(c-a)} \\ \sqrt{\frac{b}{a}(c-a)} & \sqrt{\frac{b}{a}(c-a)} & -b \end{bmatrix}$$

حول نقطه (E_2) به‌صورت (E_1)

$$f(\lambda) = \lambda^3 + (a+b)\lambda^2 + bc\lambda + 2ab(c-a)$$

است. اگر

$$A=a+b, B=bc, C=2ab(c-a)$$

آن‌گاه طبق معیار راث-هورویتس [4]، بخش حقیقی همه ریشه‌های هم‌ارزه مشخصه منفی است اگر و تنها اگر $A>0$ و $AB-C>0$. بنا براین

$$a+b>0, ab(c-a)>0, b(2a^2+bc-ac)>0 \quad (6)$$

و اثبات کامل می‌شود.

با فرض $a>b>0$ و رابطه (6) می‌توان نتیجه گرفت:

$$a>0, b>0, a<c<\frac{2a^2}{a-b}.$$

با توجه به مثبت بودن همه ضرایب هم‌ارزه مشخصه حول $E_{1,2}$ رابطه $f(\lambda)$ برای هر $\lambda>0$ برقرار است. بنا براین $E_{1,2}$ باز در صورتی ناپایدار است که ریشه‌های $f(\lambda)$ مزدوج مختلط باشند. فرض کنیم این ریشه‌ها $\lambda_1=+i\omega$ و $\lambda_2=-i\omega$ باشند که در آن ω عددی حقیقی است. از آن‌جاکه

$$\lambda_1+\lambda_2+\lambda_3 = -(a+b)$$

از این رو، $\lambda_3 = -(a+b)$ در این صورت داریم

$$f(\lambda) = f(-(a+b)) = b(ac-bc-2a^2) = 0$$

یعنی

$$c=c_0=\frac{2a^2}{a-b}$$

از این‌رو انشعاب هوپف در نقاط $E_{1,2}$ اتفاق می‌افتد. با توجه به متقارن بودن E_1 و E_2 ، کافی است پایداری را روی نقطه E_1 بررسی کنیم. با استفاده از تغییر متغیر

$$\begin{aligned} x_1 &= x-x_0, \\ y_1 &= y-y_0, \\ z_1 &= z-z_0 \end{aligned}$$

دستگاه (5) به‌صورت (7) تبدیل می‌شود:

$$\begin{cases} \dot{x}_1 = a(y_1 - x_1) \\ \dot{y}_1 = -ax_0z_1 - ax_1z_1 \\ \dot{z}_1 = y_0x_1 + x_0y_1 - bz_1 + x_1y_1, \end{cases} \quad (7)$$

ماتریس ژاکوبی دستگاه (7) در مبدأ عبارت است از:

$$J_0 = \begin{bmatrix} -a & a & 0 \\ 0 & 0 & -ax_0 \\ y_0 & x_0 & -b \end{bmatrix}$$

و همارز مشخصه متناظر، برابر است با:

$$f(\lambda) = \lambda^3 + (a+b)\lambda^2 + bc\lambda + 2ab(c-a) \quad (8)$$

در ادامه ثابت می‌کنیم که نقطه تعادل E_1 پایداریش را $c=c_0$ از دست می‌دهد.

ضریب لیاپونوف

فرض کنید \mathbb{C}^n یک فضای مختلط n بعدی با حاصل ضرب داخلی $\langle x, y \rangle = \sum_{i=0}^n \bar{x}_i y_i$ ، برای بردارهای $y = (y_1, \dots, y_n)$ و $x = (x_1, \dots, x_n)$ باشد. اگر نرم را به صورت $\|x\| = (\langle x, x \rangle)^{1/2}$ معرفی کنیم، آن‌گاه \mathbb{C}^n یک فضای هیلبرت است. دستگاه خطی (9) را در نظر می‌گیریم:

$$\dot{x} = Ax + F(x) \quad x \in \mathbb{R}^n \quad (9)$$

که $F(x) = O(\|x\|^2)$ یک تابع یکنواخت است و به صورت

$$F(x) = \frac{1}{2}B(x, x) + \frac{1}{6}C(x, x, x) + O(\|x\|^2)$$

بسط داده می‌شود که در آن $B(x, x)$ و $C(x, x, x)$ به ترتیب توابع دو خطی و سه خطی هستند و به صورت

$$B_i(x, y) = \sum_{j, k=1}^n \frac{\partial^2 F_i(\xi)}{\partial \xi_j \partial \xi_k} \Big|_{\xi=0} x_j y_k,$$

$$C_i(x, y, z) = \sum_{j, k, l=1}^n \frac{\partial^3 F_i(\xi)}{\partial \xi_j \partial \xi_k \partial \xi_l} \Big|_{\xi=0} x_j y_k z_l$$

به دست می‌آیند. در رابطه (9)، ماتریس A دارای یک جفت مزدوج مختلط محض $\omega > 0$ است. فرض کنید

$q \in \mathbb{C}^n$ بردار ویژه مختلط متناظر با مقدار ویژه λ_1 باشد، بنا برای

$$Aq = i\omega q, \quad A\bar{q} = -i\omega\bar{q}.$$

هم‌چنین بردار ویژه الحاقی $p \in \mathbb{C}^n$ نیز در رابطه

$$A^T p = i\omega p, \quad A^T \bar{p} = -i\omega\bar{p}$$

صدق کند.

اولین ضریب لیاپونوف از دستگاه (9) در مبدأ بدین صورت است:

$$l_1(0) = \frac{1}{2\omega} R[\langle p, C(q, q, \bar{q}) \rangle - 2 \langle p, B(q, A^{-1}B(q, \bar{q})) \rangle + \langle p, B(\bar{q}, (2i\omega I - A)^{-1}B(q, q)) \rangle].$$

این ضریب برای مشخص کردن زیر یا زبر بحرانی بودن انشعاب هوپف در دستگاه‌های n –بعدی ($n \geq 2$) به کار می‌رود.

اگر $l_1(0) < 0$ آن‌گاه انشعاب هوپف زبر بحرانی و اگر $l_1(0) > 0$ آن‌گاه انشعاب هوپف زبر بحرانی است. در صورت

زیربهرانی بودن انشعاب هوپف یک دور حدی پایدار از نقطه هوپف منشعب می‌شود و در صورت زیربهرانی بودن انشعاب دور حدی منشعب ناپایدار خواهد بود.

انشعاب هوپف در دستگاه از نوع لورنر

انشعاب هوپف با پارامتر انشعاب c

قضیه ۴. اگر $a \neq b$ و $c=c_0=\frac{2a^2}{a-b}$ آن‌گاه همارزة (λ) دارای ریشه منفی $(a+b) \lambda = -c$ و نیز دو ریشه موهومی محض

$$\lambda_{2,3} = \pm i\omega \quad \omega = \sqrt{\frac{2a^2b}{a-b}}$$

$$R \square R \left(\frac{d\lambda(c)}{dc} \Big|_{c=c_0, \lambda=i\omega} \right) \neq 0$$

به عبارت دیگر دستگاه (۷) در مبدأ یک انشعاب هوپف دارد.

اثبات. اگر $c=c_0$ ، آن‌گاه همارزة (λ) بدین صورت می‌شود:

$$(\lambda+a+b) \left(\lambda^2 + \frac{2a^2b}{a-b} \right) = 0$$

واضح است که ریشه‌های موهومی محض به صورت $\lambda_{1,2} = \pm i\sqrt{\frac{2a^2b}{a-b}}$ و ریشه حقیقی آن $\lambda_3 = -(a+b)$ است. با مشتق‌گیری از رابطه

بالا نسبت به c داریم:

$$\lambda'(c) = \frac{b(\lambda+2a)}{3\lambda^2+2(a+b)\lambda+bc}$$

که به این ترتیب

$$R(\lambda'(c_0)) = \frac{b(a-b)^2}{4a^2b+2(a-b)(a+b)^2} \neq 0.$$

بنابراین اگر $c=c_0$ ، آن‌گاه دستگاه (۷) انشعاب هوپف دارد.

حال ضریب اول لیاپونوف را برای دستگاه (۷) حساب می‌کنیم. با توجه به این که $x_0=y_0$ ماتریس ژاکوبی دستگاه (۷) در مبدأ عبارت است از:

$$A = \begin{bmatrix} -a & a & 0 \\ 0 & 0 & -ax_0 \\ y_0 & x_0 & -b \end{bmatrix}.$$

می‌توان بردارهای q و p متناظر با A را بدین صورت به دست آورد:

$$q = \begin{bmatrix} \frac{a^2x_0}{\omega} \left(\frac{\omega+ia}{\omega^2+a^2} \right) \\ iax_0 \\ \frac{\omega}{1} \end{bmatrix}, \quad p = \begin{bmatrix} \frac{x_0}{\omega^2+a^2} (a+i\omega) \\ \frac{-b}{ax_0} + i \frac{2ax_0}{(a+b)\omega} \\ 1 \end{bmatrix},$$

که بردارهای p و q در $A^T q = -i\omega q$ و $Aq = i\omega q$ صدق می‌کنند. برای دستگاه (۷) نوابع دوخطی و سه خطی به صورت

$$B(X, Y) = \begin{bmatrix} 0 \\ -ax_1y_3 - ax_3y_1 \\ x_1y_3 + x_2y_1 \end{bmatrix} \quad (10)$$

$$C(X,Y,Z) = \begin{bmatrix} 0 \\ 0 \\ 0 \end{bmatrix} \quad (11)$$

هستند که در آنها $Y = (y_1, y_2, y_3)$ و $X = (x_1, x_2, x_3)$ (۱۰) و (۱۱) داریم:

$$B(q,q) = \begin{bmatrix} 0 \\ -\frac{2a^3x_0(\omega+ia)}{\omega(\omega^2+a^2)} \\ \frac{2ia^3x_0^2(\omega+ia)}{\omega^2(\omega^2+a^2)} \end{bmatrix}, B(q,\bar{q}) = \begin{bmatrix} 0 \\ -\frac{2a^3x_0}{\omega^2+a^2} \\ \frac{2a^4x_0^2}{\omega^2(\omega^2+a^2)} \end{bmatrix}.$$

ماتریس وارون A بدین صورت است:

$$A^{-1} = \begin{bmatrix} \frac{1}{2a} & -\frac{1}{2} \frac{b}{ax_0^2} & \frac{1}{2x_0} \\ \frac{1}{2a} & -\frac{1}{2} \frac{b}{ax_0^2} & \frac{1}{2x_0} \\ 0 & -\frac{1}{ax_0} & 0 \end{bmatrix}$$

که با جایگذاری (q, \bar{q})

$$B(q,s) = \begin{bmatrix} 0 \\ -\frac{a^3(3a^2x_0^2\omega^2+2ia^3x_0^2\omega+\omega^4b+\omega^2ba^2+x_0^2a^4)}{\omega^2(\omega^2+a^2)^2x_0} \\ \frac{a^3(\omega^2b+x_0^2a^2)(\omega a+2ia^2+i\omega^2)}{\omega^3(\omega^2+a^2)^2} \end{bmatrix}$$

به دست می‌آید. بنا براین

$$\begin{aligned} \langle p, B(q,s) \rangle &= \frac{-2ba^2(3a^2x_0^2\omega^2+\omega^4b+\omega^2ba^2+x_0^2a^4)}{\omega^2x_0(\omega^2+a^2)^2} + \frac{8a^7x_0^3}{(a+b)} - \frac{2a^4(\omega^2b+x^2a^2)}{\omega^2(\omega^2+a^2)^2} \\ &\quad + i \left(\frac{-\frac{4a^4x_0(3a^2x_0^2\omega^2+\omega^4b+\omega^2ba^2+x_0^2a^4)}{\omega(a+b)}}{\omega^2(\omega^2+a^2)^2} - \frac{4ba^5x_0\omega}{\omega^3(\omega^2+a^2)^2} - \frac{2a^3(\omega^2b+x_0^2a^2)(2a^2+\omega^2)}{\omega^3(\omega^2+a^2)^2} \right) \quad (12) \end{aligned}$$

با قراردادن $s' = (2i\omega I - A)^{-1} B(q,q)$ رابطه

$$B(\bar{q}, s') = \begin{bmatrix} 0 \\ \frac{a^5x_0(\omega+ia)(-7iax_0^2\omega^2-10a^2x_0^2\omega+3ia^3x_0^2-2i\omega^4-2i\omega^2a^2-\omega^3b-\omega ba^2)}{\omega^2(\omega^2+a^2)^2(x_0^2a^2-4i\omega^3-2\omega^2b+i\omega ax_0^2-2a\omega^2+ia\omega b)} \\ \frac{a^5x_0^2(\omega+ia)(2i\omega^2+\omega b+ix_0^2a)(-3\omega a-i\omega^2+2ia^2)}{\omega^3(\omega^2+a^2)^2(x_0^2a^2-4i\omega^3-2\omega^2b+i\omega ax_0^2-2a\omega^2+ia\omega b)} \end{bmatrix}$$

را به دست می‌آوریم. در این صورت $\langle p, B(\bar{q}, s') \rangle$ به صورت (۱۳) به دست می‌آید:

$$\begin{aligned} \langle p, B(\bar{q}, s') \rangle &= \frac{1}{\omega^3(\omega^2+a^2)^2(x_0^2a^2-4i\omega^3-2\omega^2b+i\omega ax_0^2-2a\omega^2+ia\omega b)} \\ &\quad \times \left[\left(\frac{b}{ax_0} + \frac{2iax_0}{\omega(a+b)} \right) a^5 \omega x_0 (\omega+ia) (-7iax_0^2\omega^2-10a^2x_0^2\omega+3ia^3x_0^2 \right. \\ &\quad \left. - 2i\omega^4-2i\omega^2a^2-\omega^3b-\omega ba^2) + a^5x_0^2(\omega+ia)(2i\omega^2+\omega b \right. \\ &\quad \left. + iax_0^2)(-i\omega^2-3\omega a+2ia^2) \right] \quad (13) \end{aligned}$$

اولین ضریب لیاپونوف را با جایگذاری (۱۱)، (۱۲) و (۱۳) در رابطه

$$l_1(0)=\frac{1}{2\omega}R[\langle p,C(q,q,\bar{q}) \rangle - 2\langle p,B(q,s) \rangle + \langle p,B(\bar{q},s') \rangle]$$

و در نهایت با جایگذاری $x_0=\sqrt{\frac{b(a+b)}{a-b}}$ و $\omega=\sqrt{\frac{2ba^2}{a-b}}$

$$l_1(0)=\frac{1}{6}\frac{\sqrt{2}(a-b)^2(23a^3-121ba^2+13b^2a+13b^3)b}{\sqrt{\frac{ba^2}{(a-b)}}(a^3+9ba^2-b^2a-b^3)(b+a)^2}. \quad (14)$$

با توجه به مقدار $l_1(0)$ بدست آمده در (۱۴) لم ۳ را داریم:

لم ۳. اگر $\frac{a}{b} \in (5/13, +\infty)$ ، آن‌گاه انشعاب هوپف در مبدأ زیربحranی است.

اثبات. با توجه به این که $\frac{a}{b} > 1$ و با تعیین علامت $l_1(0)$ می‌توان نتیجه گرفت که اگر $(0, 0)$ آن‌گاه $l_1(0) < 1$

بنابراین انشعاب هوپف در مبدأ زیربحranی است.

انشعاب هوپف با پارامتر انشعاب a

در بخش قبل c را به عنوان پارامتر در نظر گرفتیم، در ادامه a را به عنوان پارامتر انشعاب در نظر می‌گیریم [9]. با استفاده از

$$f(\lambda_3)=f(-(a+b))=b(ac-bc-2a^2)=0$$

رابطه

$$a=a_s=\frac{c \pm \sqrt{c^2-8bc}}{4}$$

به دست می‌آید. از رابطه (۸) اگر $c \neq 8b$ آن‌گاه

$$R\left(\frac{d\lambda(a)}{da} \Big|_{a=a_s, \lambda=i\sqrt{bc}}\right)=R\left(\frac{bc-4ab}{2bc-2i\sqrt{bc}(a+b)}\right)=\frac{bc-4ab}{2bc+2(a+b)^2} \neq 0.$$

با استفاده از تغییر متغیر $(x,y,z) \mapsto (X_1, Y_1, Z_1)$

$$x=X_1+x_0, y=Y_1+y_0, z=Z_1+z_0$$

دستگاه (۵) به صورت

$$\begin{cases} \dot{X}_1 = a(Y_1 - X_1) \\ \dot{Y}_1 = -ax_0Z_1 - aX_1Z_1 \\ \dot{Z}_1 = x_0(X_1 + Y_1) - bZ_1 + X_1Y_1 \end{cases}$$

یا

$$\begin{bmatrix} \dot{X}_1 \\ \dot{Y}_1 \\ \dot{Z}_1 \end{bmatrix} = \begin{bmatrix} -a & a & 0 \\ 0 & 0 & -ax_0 \\ x_0 & x_0 & -b \end{bmatrix} \begin{bmatrix} X_1 \\ Y_1 \\ Z_1 \end{bmatrix} + \begin{bmatrix} 0 \\ -aX_1Z_1 \\ X_1Y_1 \end{bmatrix}, \quad (15)$$

در می‌آید. مقادیر ویژه ماتریس ژاکوبی

$$J = \begin{bmatrix} -a & a & 0 \\ 0 & 0 & -ax_0 \\ x_0 & x_0 & -b \end{bmatrix}$$

عبارتنداز $b > 0, c > 0$ که در آن $\lambda_{2,3} = \pm i\omega = \pm \sqrt{bc}$ و $\lambda_1 = -a-b < 0$ بودارهای ویژه متناظر برابرند با

$$v_1 = \left(1, \frac{-c+2a}{c}, \frac{-2}{c} \sqrt{c-2a-b} \right)$$

$$v_2 = \left(-\frac{a}{\omega} qx_0 + iqx_0, -\frac{a}{\omega} x_0, i \right)$$

$$v_3 = \left(-\frac{a}{\omega} qx_0 - iqx_0, -\frac{a}{\omega} x_0, -i \right)$$

که در آن $q = \frac{a^2}{\omega^2 + a^2}$ با استفاده از بودارهای

$$v_2' = \frac{v_2 + v_3}{2} = \left(-\frac{a}{\omega} qx_0, -\frac{a}{\omega} x_0, 0 \right), v_3' = \frac{v_2 - v_3}{2!} = (qx_0, 0, 1)$$

۶

$$v_1 = \left(1, \frac{-c+2a}{c}, \frac{-2}{c} \sqrt{c-2a-b} \right)$$

تبديل

$$\begin{bmatrix} X_1 \\ Y_1 \\ Z_1 \end{bmatrix} = P \begin{bmatrix} X \\ Y \\ Z \end{bmatrix}$$

را که در آن

$$P = \begin{bmatrix} 1 & \frac{-a}{\omega} qx_0 & qx_0 \\ \frac{-c+2a}{c} & \frac{-a}{\omega} x_0 & 0 \\ \frac{-2}{c} \sqrt{c-2a-b} & 0 & 1 \end{bmatrix}$$

اعمال می‌کنیم. دستگاه بالا به طور همارز به صورت

$$\begin{bmatrix} X \\ Y \\ Z \end{bmatrix} = P^{-1} \begin{bmatrix} X_1 \\ Y_1 \\ Z_1 \end{bmatrix}$$

نوشته می‌شود که در آن

$$P^{-1} = \frac{1}{d} \begin{bmatrix} c & -qc & -qx_0 c \\ -c+2a & -\frac{c+2\sqrt{c-2a-b}qx_0}{ax_0} \omega & \frac{c-2a}{a} q\omega \\ -2\sqrt{c-2a-b} & -2q\sqrt{c-2a-b} & c+qc-2qa \end{bmatrix}$$

و $d = c+qc-2qa+2\sqrt{c-2a-b}qx_0$ آن گاه رابطه (۱۵) به

$$\begin{bmatrix} \dot{X} \\ \dot{Y} \\ \dot{Z} \end{bmatrix} = P^{-1} JP \begin{bmatrix} X \\ Y \\ Z \end{bmatrix} + P^{-1} \begin{bmatrix} 0 \\ -aX_1Z_1 \\ X_1Z_1 \end{bmatrix}$$

یا به طور همارز

$$\begin{bmatrix} \dot{X} \\ \dot{Y} \\ \dot{Z} \end{bmatrix} = \begin{bmatrix} 2a \frac{-c+2a}{c} & 0 & 0 \\ 0 & 0 & \omega \\ 0 & -\omega & 0 \end{bmatrix} \begin{bmatrix} X \\ Y \\ Z \end{bmatrix} + \begin{bmatrix} g_1 \\ g_2 \\ g_3 \end{bmatrix} \quad (16)$$

تبدیل می‌شود که در آن

$$\begin{bmatrix} g_1 \\ g_2 \\ g_3 \end{bmatrix} = P^{-1} \begin{bmatrix} 0 \\ -a(X - \frac{a}{\omega} q x_0 Y + q x_0 Z)(Z - \frac{2}{c} \sqrt{c-2a-b} X) \\ (X - \frac{a}{\omega} q x_0 Y + q x_0 Z)(\frac{-c+2a}{c} X - \frac{a}{\omega} x_0 Y) \end{bmatrix}.$$

می‌توان نشان داد که g_1 , g_2 و g_3 به صورت

$$\begin{aligned} g_1 &= \frac{1}{d} q c a \left(X - \frac{a}{\omega} q x_0 Y + q x_0 Z \right) \left(\frac{-2}{c} \sqrt{c-2a-b} X + Z \right) \\ &\quad - \frac{1}{d} q x_0 c \left(a X - \frac{a}{\omega} q x_0 Y + q x_0 Z \right) \left(\frac{-c+2a}{c} X - \frac{a}{\omega} x_0 Y \right) \\ g_2 &= \frac{\omega c + 2\sqrt{c-2a-b} q x_0}{d} \left(X - \frac{a}{\omega} q x_0 Y + q x_0 Z \right) \left(\frac{-2}{c} \sqrt{c-2a-b} X + Z \right) \\ &\quad - \frac{q \omega}{ad} (c-2a) \left(a X - \frac{a}{\omega} q x_0 Y + q x_0 Z \right) \left(\frac{-c+2a}{c} X - \frac{a}{\omega} x_0 Y \right) \\ g_3 &= \frac{2aq}{d} \sqrt{c-2a-b} \left(X - \frac{a}{\omega} q x_0 Y + q x_0 Z \right) \left(\frac{-2}{c} \sqrt{c-2a-b} X + Z \right) \\ &\quad - \frac{1}{d} (c+qc-2aq) \left(a X - \frac{a}{\omega} q x_0 Y + q x_0 Z \right) \left(\frac{-c+2a}{c} X - \frac{a}{\omega} x_0 Y \right). \end{aligned}$$

هستند. حال خمینهٔ مرکز

$$X = h(Y, Z) = KY^2 + BYZ + CZ^2 + \dots, \quad (17)$$

را در مبدأ در نظر بگیرید. با جایگذاری (17) در (16) و در نظر گرفتن این مشتق

$$\dot{X} = 2KY\dot{Y} + B\dot{Y}Z + BY\dot{Z} + 2CZ\dot{Z} + \dots,$$

از (17) رابطه (18) به دست می‌آید:

$$\dot{X} = BZ^2\omega - BY^2\omega - 2C\omega YZ + 2K\omega ZY + \dots, \quad (18)$$

از طرف دیگر، از (16) داریم:

$$\dot{X} = \alpha_1 Y^2 + \alpha_2 YZ + \alpha_3 Z^2 + \dots \quad (19)$$

که در آن α_1 , α_2 و α_3 بدین صورت هستند:

$$\begin{aligned} \alpha_1 &= -2\alpha K + 2K \frac{a^2}{c} - \frac{a^2}{d\omega^2} q^2 x_0^3 c \\ \alpha_2 &= \frac{a}{\omega d} q^2 x_0^3 c - \frac{1}{\omega d} q^2 c a^2 x_0 - 2aB + 2 \frac{a^2 B}{c} \\ \alpha_3 &= 2 \frac{a^2}{c} C + \frac{1}{d} q^2 c a x_0 - 2aC \end{aligned}$$

در این صورت با مقایسه روابط (18) و (19) می‌توان ضرایب Y^2 , YZ و Z^2 را بدین صورت به دست آورد:

$$Y^2 : -\omega B = -2aK + 2K \frac{a^2}{c} - \frac{a^2}{d\omega^2} q^2 x_0^3 c$$

$$YZ : 2\omega K - 2C\omega = \frac{a}{\omega d} q^2 x_0^3 c - \frac{a^2}{d\omega} q^2 x_0 c - 2aB + 2B \frac{a^2}{c}$$

$$Z^2 : B\omega = 2 \frac{a^2 C}{c} + \frac{1}{d} q^2 c a x_0 - 2aC$$

که در آن

$$K = \frac{-q^2 c^2 x_0 (-\omega^2 c a^3 + \omega^2 c^2 a^2 - \omega^4 c^2 + \omega^2 c x_0^2 a^2 - 4 x_0^2 a^4 c + 2 x_0^2 a^3 c^2 + 2 x_0^2 a^5)}{4 d \omega^2 (c - a) (\omega^2 c^2 - 2 c a^3 - c^2 a^2 + a^4)},$$

$$B = \frac{a q^2 x_0 c^2 (2 x_0^2 c a + a^3 - c a^2 + \omega^2 c - x_0^2 a^2)}{2 \omega d (\omega^2 c^2 - 2 c a^3 - c^2 a^2 + a^4)},$$

$$C = \frac{-q^2 c^2 x_0 (2 x_0^2 c^2 a + 5 c a^3 - 3 c^2 a^2 - \omega^2 c^2 - c x_0^2 a^2 - 2 a^4)}{4 d (c - a) (\omega^2 c^2 - 2 c a^3 - c^2 a^2 + a^4)}.$$

بنا براین دستگاه (۱۶) به خمینهٔ مرکز

$$\begin{pmatrix} \dot{Y} \\ \dot{Z} \end{pmatrix} = \begin{pmatrix} 0 & \omega \\ -\omega & 0 \end{pmatrix} \begin{pmatrix} Y \\ Z \end{pmatrix} + \begin{pmatrix} g^2(Y, Z) \\ g^3(Y, Z) \end{pmatrix},$$

کاهش می‌یابد که در آن

$$g^2(Y, Z) = g_2(h(Y, Z), Y, Z), \quad g^3(Y, Z) = g_3(h(Y, Z), Y, Z).$$

عبارت A نیز بدین صورت به دست می‌آید:

$$\begin{aligned} A = & -\frac{1}{8} x_0 c a q C + \frac{1}{4d} x_0 a^2 q C - \frac{1}{4d} x_0 c q^2 C + \frac{1}{d} a C q \sqrt{c-2a-b} + \frac{x_0}{dc} a C q^2 b \\ & - \frac{1}{8d} c K q x_0 - \frac{1}{4d\omega} a^2 B q x_0 + \frac{1}{8} c a B q^2 x_0 + \frac{1}{4d\omega} a^3 B q x_0 - \frac{1}{2d\omega c} q^2 a^2 B b x_0 \\ & - \frac{1}{2d\omega c} q^2 a^3 B x_0 - \frac{1}{8d\omega} c a^2 B x_0 - \frac{1}{8d\omega} c a^2 B q x_0 - \frac{3C}{8D} c q x_0 + \frac{3C}{4d} a q x_0 \\ & - \frac{1}{8d^2\omega^4} c^2 q^4 x_0^4 a^3 - \frac{1}{2d^2\omega^4} q^4 a^5 x_0^4 - \frac{q^4 a^5 x_0^3}{2d^2\omega^4} \sqrt{c-2a-b} + \frac{c q^4 a^4 x_0^3}{4d^2\omega^4} \sqrt{c-2a-b} \\ & + \frac{c q^3 a^4 x_0^3}{4d^2\omega^4} \sqrt{c-2a-b} + \frac{1}{2d^2\omega^2} c q^4 a^3 x_0^2 - \frac{1}{d^2\omega^2} q^4 a^4 x_0^2 - \frac{1}{2d^2\omega^2} q^4 a^3 x_0^2 b \\ & + \frac{1}{2d^2} c q^4 a x_0^2 - \frac{1}{d^2} q^4 a^2 x_0^2 - \frac{1}{2d^2} q^4 a x_0^2 b - \frac{1}{8d^2\omega^2} c^2 q^3 a^2 x_0^2 + \frac{1}{4d^2\omega^2} c q^3 a^3 x_0^2 \\ & + \frac{c q^3 a^4 x_0^3}{4d^2\omega^4} \sqrt{c-2a-b} + \frac{1}{2d^2\omega^2} c q^4 a^3 x_0^2 - \frac{1}{d^2\omega^2} q^4 a^4 x_0^2 - \frac{1}{2d^2\omega^2} q^4 a^3 x_0^2 b \\ & + \frac{1}{2d^2} c q^4 a x_0^2 - \frac{1}{d^2} q^4 a^2 x_0^2 - \frac{1}{2d^2} q^4 a x_0^2 b - \frac{1}{8d^2\omega^2} c^2 q^3 a^2 x_0^2 + \frac{1}{4d^2\omega^2} c q^3 a^3 x_0^2 \\ & - \frac{1}{8d^2} c^2 q^2 a - \frac{1}{8d^2\omega^2} c^2 q^4 a x_0^2 + \frac{1}{2d^2\omega^2} c q^4 a^2 x_0^2 - \frac{c q^4 x_0^3}{4d^2} \sqrt{c-2a-b} - \frac{1}{8d^2} c^2 q^3 x_0^2 \\ & - \frac{1}{2d^2\omega^2} q^4 a^3 x_0^4 + \frac{a q^4 x_0^3}{2d^2} \sqrt{c-2a-b} + \frac{1}{4d^2} q^3 c a x_0^2 + \frac{1}{2d^2\omega^2} c q^4 a^4 x_0^4 \\ & + \frac{c a^2 q^3 x_0^3}{4d^2\omega^2} \sqrt{c-2a-b} + \frac{1}{8d^2\omega^2} c^2 q^2 a^3 x_0^4 + \frac{K a q}{d} \sqrt{c-2a-b} \\ & + \frac{1}{8d x_0} c \omega B + \frac{1}{dc} x_0 q^2 a^2 C + \frac{1}{8da} c q^2 x_0 \omega B - \frac{K}{dc} q^2 a^2 x_0 - \frac{3K}{8d} c q a x_0 \\ & + \frac{3K}{4d} q a^2 x_0 + \frac{K}{4d} c q^2 x_0 + \frac{1}{2d} q^2 a x_0 \omega B + \frac{1}{2dc} q^2 b x_0 \omega b + \frac{K}{4d} q a x_0 + \frac{1}{8d\omega} c q a x_0 B. \end{aligned}$$

بنا براین قضیه ۵ برقرار است.

$$\text{قضیه ۵. اگر } a = a_s = \frac{\sqrt{c^2 - 8bc}}{4} \text{ و } a \neq a_s, \text{ آن‌گاه هم‌ارزه } (\lambda) \text{ دارای یک ریشهٔ منفی } 0 < \lambda_1 = -a-b \text{ و دو ریشهٔ موهومی}$$

محض $\lambda_{2,3} = \pm i\omega = \pm \sqrt{bc}$ است به طوری که

$$R := R \left(\frac{d\lambda(a)}{da} \Big|_{a=a_s, \lambda=i\sqrt{bc}} \right) \neq 0.$$

در نتیجه اگر $A \neq 0$, نقطهٔ تعادل E_1 از دستگاه از نوع لورنژ یک انشعاب هوپف دارد. به علاوهٔ مدارهای متناظر منشعب شده از نقطهٔ تعادل E_1 برای a ها در همسایگی a_s پایدارند اگر $A < 0$ و ناپایدارند اگر $A > 0$.

آنالیز عددی انشعاب دستگاه از نوع لورنر

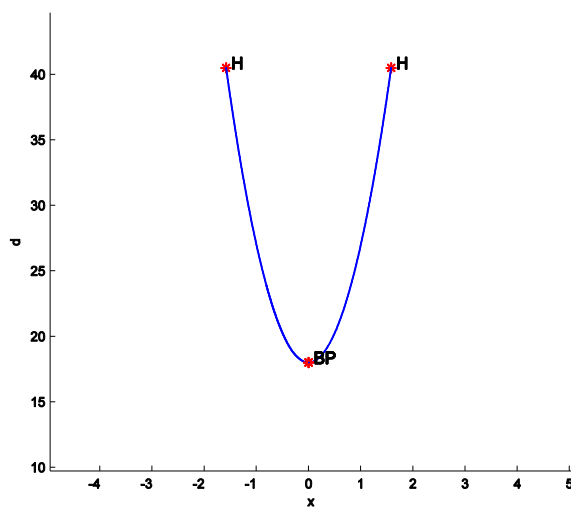
در این بخش با استفاده از تکنیک امتداد عددی [1]. خم‌های مختلف انشعاب را به همراه ضرایب فرم نرمال آن‌ها برای مجموعه مختلف از پارامترهای دستگاه (۵) محاسبه می‌کنیم. ابتدا نقطه تعادل E_1 را در نظر می‌گیریم. برای این منظور پارامترهای a , b و c را طوری انتخاب می‌کنیم که با توجه به لم و قضیه بیان شده در انشعاب هوپف با پارامتر انشعاب c نقطه تعادل متناظر ناپایدار باشد. سپس با تغییر پارامترها، پایداری این نقطه تعادل را بررسی می‌کنیم. بنابراین با توجه به موارد بیان شده داریم:

$$a=18, b=2, c=40/5$$

برای این مقادیر نقطه تعادل E_1 عبارت است از:

$$E_1 = \left(\sqrt{\frac{b}{a}(c-a)}, \sqrt{\frac{b}{a}(c-a)}, \frac{c-a}{a} \right) = (1/58, 1/58, 1/25).$$

حال خم نقطه ثابت با شروع از E_1 و پارامتر آزاد c را با استفاده از روش امتداد عددی محاسبه می‌کنیم.



شکل ۱. انشعاب هوپف از نوع لورنر با پارامتر c

با قرار دادن $c=40.5$ و $b=2$ ، $a=18$ انشعاب هوپف را در شکل ۱ و دایره‌های حدی منشعب شده از آن، در شکل ۲

دیده می‌شود. همزمان با رسم خم نقاط انشعاب به همراه ضرایب صورت نرمال متناظر بدین صورت محاسبه می‌شود:

$\text{label} = H, x = (1.581139 \ 1.581139 \ 1.250000 \ 40.500000)$

First Lyapunov coefficient = 1.034367e-001

tangent vector to first point found

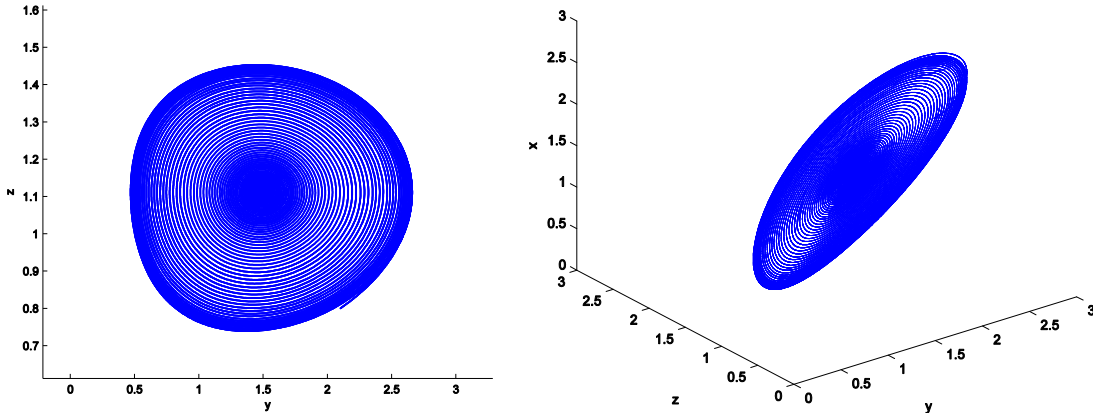
$\text{label} = BP, x = (0.000000 \ 0.000000 \ -0.000000 \ 18.000000)$

$\text{label} = H, x = (-1.581139 \ -1.581139 \ 1.250000 \ 40.500000)$

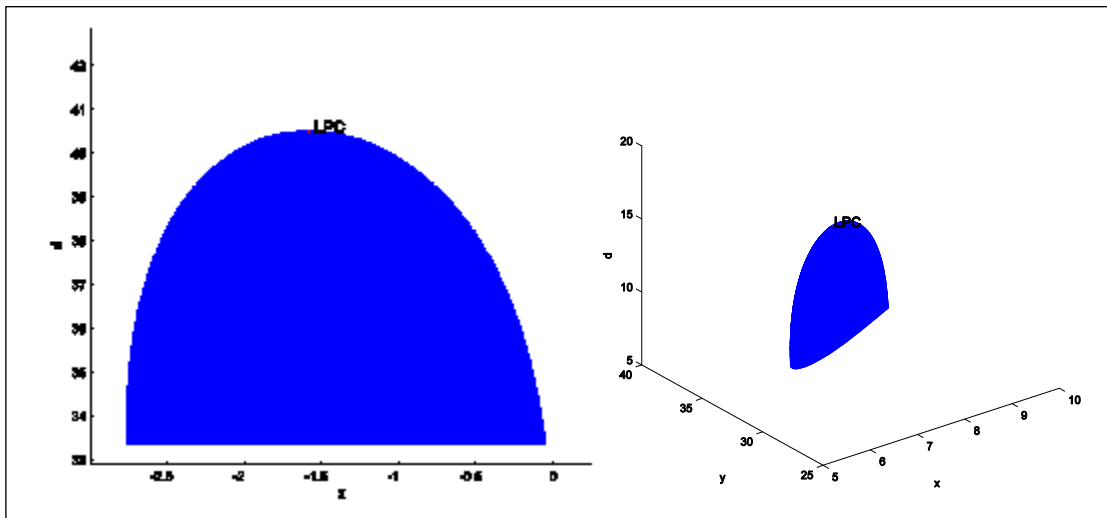
First Lyapunov coefficient = 1.034367e-001

در نقطه X با برچسب هوپف (H) سه مؤلفه اول به ترتیب مقادیر x ، y و مؤلفه آخر مقدار پارامتر c در نقطه انشعاب را مشخص می‌کند. اولین ضریب لیاپونوف متناظر با H مثبت است پس انشعاب زیربحرانی است که به

معنی ناپایدار بودن دایره حدی منشعب شده حول نقطه انشعاب X است و نقطه تعادل اولیه بعد از انشعاب هوپف پایدار می‌شود. این دایره حدی را در ادامه محاسبه می‌کنیم.



شکل ۲. تصاویر ۲-بعدی و ۳-بعدی با شروع از نقطه‌ای درون دایره حدی و با پارامترهای $a=18$, $b=2$ و $c=40.5$

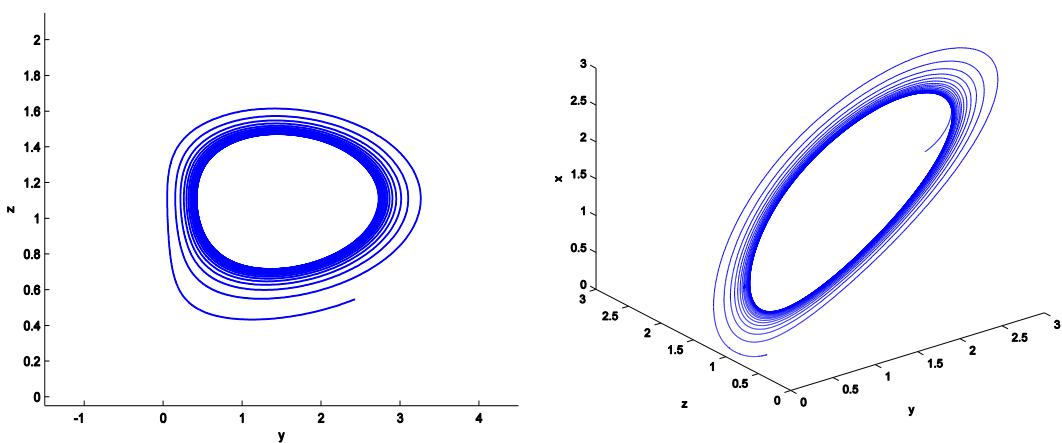


شکل ۳. خانواده‌ای از دایره‌های منشعب شده به ازای پارامترهای $a=18$, $b=2$ و $c=40.5$
یک خانواده از دورهای حدی بیان شده در مقدمه که در شکل ۳ نمایش داده شده، در مقدار پارامتر $c=40.5$ تولید می‌شود. برای نقطه LPC به دست آمده، این محاسبات متناظر را داریم:

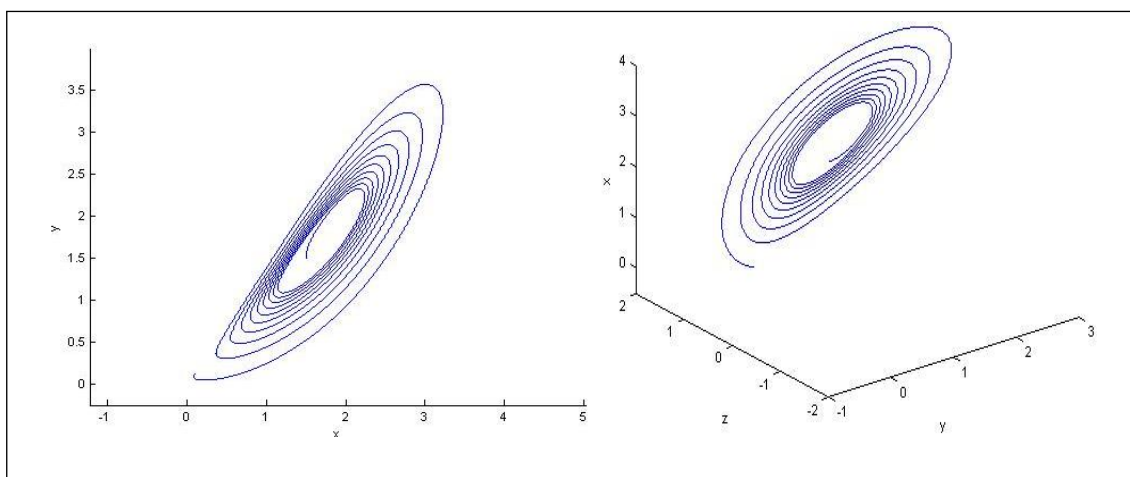
Limit point cycle (period = 6.981317e-001, parameter = 4.050000e+001)

Normal form coefficient = 9.145341e-001

در ادامه ابتدا $c=38$ را در نظر می‌گیریم، که این حالت قبل از انشعاب هوپف است. با نقطه $(2/1, 2/1, 0 / 8)$ شروع کرده، چنان‌که در شکل ۲ دیده می‌شود مدار از دایره حدی دور شد و به نقطه تعادل جذب می‌شود. در این حالت اکر نقطه‌ای در خارج از دایره حدی در نظر بگیریم همچنان که در شکل ۴ مشخص است از دایره حدی دور می‌شود. حال قرار می‌دهیم $c=44$ که پس از انشعاب هوپف است. در این حالت از نقطه تعادل دور می‌شود، که توصیف انشعاب هوپف از نوع زیربحranی است.

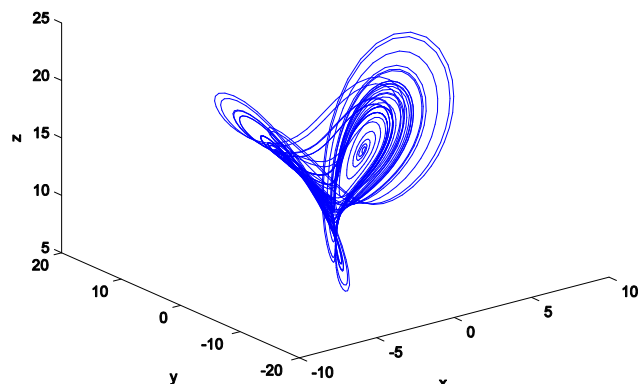


شکل ۴. تصاویر ۲-بعدی و ۳-بعدی با شروع از نقطه‌ای بیرون از دایرهٔ حدی و با پارامترهای $c=38$, $b=2$, $a=18$ و



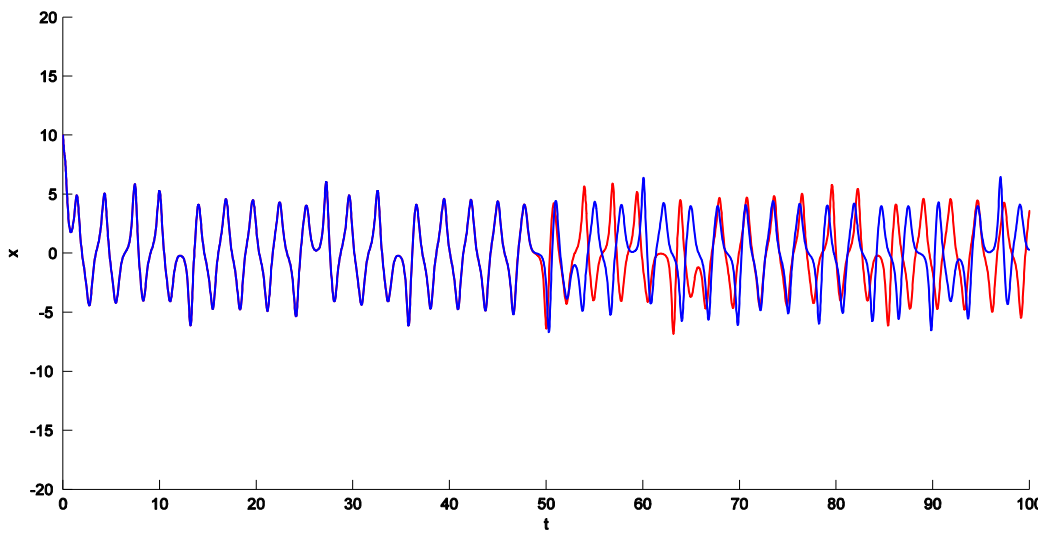
شکل ۵. بعد از انشعاب هیف با پارامترهای $c=38$, $b=2$, $a=18$ و

در حالت خاص $c=30$, $b=0.6$, $a=2.1$ آشوب در شکل ۶ نشان داده شده است.

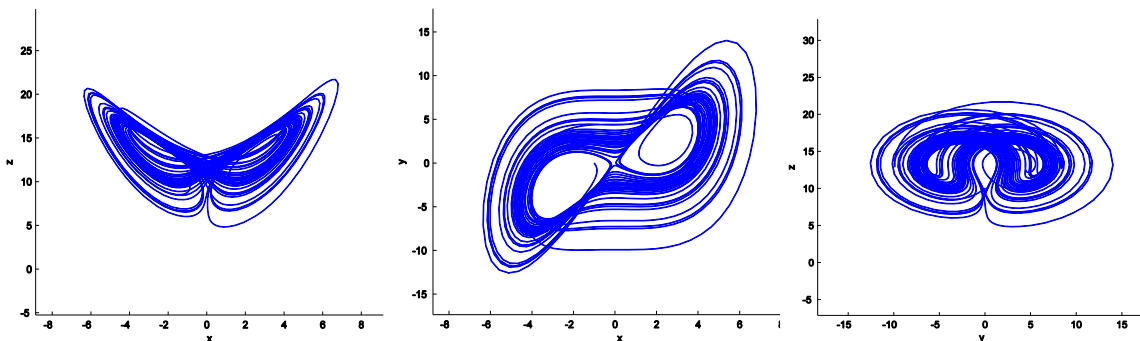


شکل ۶. رفتار آشوبی دستگاه از نوع لورنزو $c=30$, $b=0.6$, $a=2.1$ و

نمایش بهتر آشوب در این دستگاه، در شکل ۷ مشخص می‌شود. چنان‌که دیده می‌شود با تغییر اندازی در مقدار Z ، تغییر محسوسی قابل مشاهده است.

شکل ۷. با تفاوت در 10^{-6} مقدار اولیه z

حالات‌های مختلف این آشوب در نمودارهای ۲-بعدی نشان داده شده است. شکل ۸، دستگاه از نوع لورنژ را در صفحات Y-Z و X-Y، X-Z نشان می‌دهد.



شکل ۸. حالات‌های مختلف آشوب در دستگاه از نوع لورنژ

انشعاب چنگال در دستگاه از نوع لورنژ

هم‌ارزه مشخصه ماتریس ژاکوبی دستگاه در مبدأ به صورت $f(\lambda) = -(\lambda + b)[\lambda^2 + a\lambda + a(a - c)]$ است. اگر $a = c$ باشد، آن‌گاه مقادیر ویژه آن $\lambda_1 = -b$ و $\lambda_2 = -c$ هستند. بنا برای نمایش نقطه $(0, 0, 0)$ یک نقطه هذلولوی نیست. برای بررسی رفتار دینامیکی دستگاه در این حالت از قضیه خمینه مرکز استفاده می‌کنیم. قرار می‌دهیم $\beta = a - a_0$ که در آن $c = a_0$. بردارهای ویژه متناظر با مقادیر ویژه $\lambda_1 = 0$ و $\lambda_2 = 0$ به ترتیب برابر است با $(1, 0, 0)$ و $(0, 0, 1)$ هستند. از

تغییرمتغیر خطی

$$\begin{bmatrix} x \\ y \\ z \end{bmatrix} = \begin{bmatrix} 0 & 1 & 1 \\ 0 & 0 & 1 \\ 1 & 0 & 0 \end{bmatrix} \begin{bmatrix} u \\ v \\ w \end{bmatrix}$$

استفاده می‌کنیم. در این صورت دستگاه (۵) به دستگاه

$$\begin{cases} \dot{u} = -bu + vw + w^2 \\ \dot{v} = -cv + \beta v + \beta w + cuv + cuw \\ \dot{w} = -\beta v - \beta w - cuv - cuw \end{cases} \quad (20)$$

یا به صورت

$$\begin{bmatrix} \dot{u} \\ \dot{v} \\ \dot{w} \end{bmatrix} = \begin{bmatrix} -b & 0 & 0 \\ 0 & -c & 0 \\ 0 & 0 & 0 \end{bmatrix} \begin{bmatrix} u \\ v \\ w \end{bmatrix} + \begin{bmatrix} f_1 \\ f_2 \\ f_3 \end{bmatrix} \quad (21)$$

تبديل می‌شود. که در آن

$$\begin{aligned} f_1 &= vw + w^2 \\ f_2 &= \beta v + \beta w + cuv + cuw \\ f_3 &= -\beta v - \beta w - cuv - cuw \end{aligned}$$

فرض کنید پارامتر وابسته β باشد و این پارامتر را به عنوان یک متغیر جدید در نظر می‌گیریم. بنا براین رابطه (۲۱) به صورت

$$\begin{bmatrix} \dot{u} \\ \dot{v} \\ \dot{w} \\ \dot{\beta} \end{bmatrix} = \begin{bmatrix} -b & 0 & 0 & 0 \\ 0 & -c & 0 & 0 \\ 0 & 0 & 0 & 0 \\ 0 & 0 & 0 & 0 \end{bmatrix} \begin{bmatrix} u \\ v \\ w \\ \beta \end{bmatrix} + \begin{bmatrix} f_1 \\ f_2 \\ f_3 \\ 0 \end{bmatrix} \quad (22)$$

تبديل می‌شود. طبق قضیه خمینه مرکز، یک خمینه مرکز برای (۲۱) حول مبدأ بدین صورت وجود دارد:

$$W^o(0) = \{(u, v, w, \beta) \in \mathbb{R}^4 | u = f(w, \beta), v = g(w, \beta), |w| < \delta, |\beta| < \bar{\delta}, \\ f(0, 0) = g(0, 0) = 0, f'_w(0, 0) = g'_w(0, 0) = 0\} \quad (23)$$

قرار می‌دهیم:

$$\begin{aligned} u &= f(w, \beta) = a_1 w^2 + a_2 w\beta + a_3 \beta^2 + \dots \\ v &= g(w, \beta) = b_1 w^2 + b_2 w\beta + b_3 \beta^2 + \dots \end{aligned} \quad (24)$$

طبق شرایط گفته شده در (۲۳) داریم:

$$\begin{aligned} \dot{u} &= f'_w \dot{w} = 2a_1 w \dot{w} + a_2 \dot{w}\beta + a_3 \beta \dot{w} \\ \dot{v} &= g'_w \dot{w} = 2b_1 w \dot{w} + b_2 \dot{w}\beta + b_3 \beta \dot{w} \end{aligned} \quad (25)$$

و

$$\dot{w} = -\beta v - \beta w - cuv - cuw = -\beta w + \dots \quad (26)$$

با جایگذاری (۲۶) در (۲۵) نتیجه می‌شود:

$$\begin{aligned} \dot{u} &= 2\beta a_1 w^2 + a_2 w + \beta^2 + \dots \\ \dot{v} &= 2\beta b_1 w^2 + b_2 w\beta + \beta^2 + \dots \end{aligned} \quad (27)$$

از طرف دیگر، از روابط (۲۰) و (۲۴) به دست می‌آوریم:

$$\begin{aligned} \dot{u} &= -ba_1 w^2 + w^2 - ba_2 w\beta - ba_3 \beta^2 + b_1 w^3 + b_2 w^2 \beta + wb_3 \beta^2 + \dots \\ \dot{v} &= -cb_1 w^2 + \beta w - cb_2 w\beta - cb_3 \beta^2 + \beta b_1 w^2 + b_2 w\beta^2 + \dots \end{aligned} \quad (28)$$

با مقایسه روابط (۲۷) و (۲۸)، ضرایب w^2 , $w\beta$ و β^2 بدین صورت به دست می‌آیند:

$$a_1 = \frac{1}{b}, a_2 = a_3 = 0, b_2 = \frac{1}{c}, b_1 = b_3 = 0$$

بدین ترتیب

$$f(w, \beta) = \frac{1}{b} w^2 + \dots$$

$$g(w, \beta) = \frac{1}{c} w\beta + \dots$$

از این رو، میدان برداری به خمینه مرکزی

$$\dot{w} = -\beta w - \frac{c}{b} w^3 - \frac{1}{c} w\beta^2 - \frac{1}{b} w^3 \beta + \dots$$

$$\dot{\beta} = 0 \quad (29)$$

کاهش می‌یابد. می‌توان براحتی شرایطی را تعیین کرد که طبق آن برای $(w, \beta) = (0, 0)$ از رابطه (۲۹) انشعاب چنگال داشته باشد. با توجه به

$$F(w, \beta) = -\beta w - \frac{c}{b} w^3 - \frac{1}{c} w\beta^2 - \frac{1}{b} w^3 \beta + \dots$$

داریم:

$$F(0, 0) = 0, \quad \frac{\partial F}{\partial w}|_{(0, 0)} = 0, \quad \frac{\partial F}{\partial \beta}|_{(0, 0)} = 0,$$

$$\frac{\partial^2 F}{\partial w^2}|_{(0, 0)} = 0, \quad \frac{\partial^2 F}{\partial w \partial \beta}|_{(0, 0)} = -1 \neq 0,$$

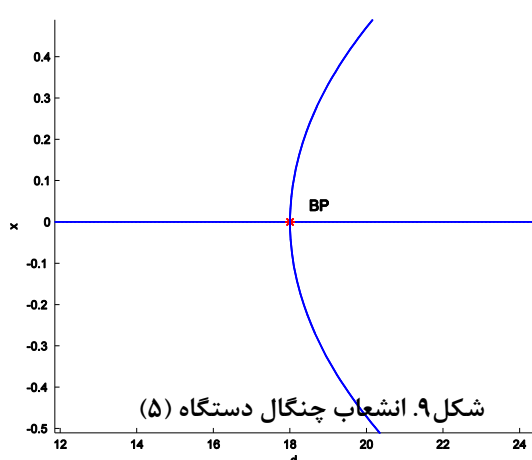
$$\frac{\partial^3 F}{\partial w^3}|_{(0, 0)} = -\frac{c}{b} \neq 0.$$

بنا براین λ_4 را داریم:

λ_4 . اگر $\beta = a - a_0 = 0$ نقطه تعادل $(0, 0, 0)$ از دستگاه از نوع لورنژ یک انشعاب چنگال دارد. اگر $a > a_0$ آن‌گاه نقطه تعادل O به‌طور مجاني پایدار است و برای $a < a_0$ سه نقطه تعادل O (نپایدار) و $E_{1,2}$ (پایدار) وجود دارد. همچنین این انشعاب را به‌صورت عددی در شکل ۹ می‌توان دید:

نتیجه‌گیری

در این مقاله با استفاده از روش امتداد عددی خم‌های مختلف انشعاب برای دستگاه از نوع لورنژ محاسبه شد. به‌طور تحلیلی انشعاب‌های هم بعد ۱ را برای این دستگاه به‌دست آمد و همچنین با استفاده از شبیه‌سازی عددی رفتارهای پیچیده دستگاه را از قبیل دایره حدی و رفتارهای آشوب‌ناک بررسی شد.



منابع

1. Allgower E. L., George K., "Numerical continuation methods: An introduction", springer-verlag, berlin, (1990).
2. Doedel E. J., Govaerts W., Kuznetsov YU. A., " Computation of periodic solution bifurcations in ODE using bordered systems", SIAM Journal on Numerical Analysis, 1-33.
3. Bi Q., Jiang B., Han X. , "Hopf Bifurcation analysis in T system, nonlinear analysis: Real World Application", 11 (2010) 522-527.
4. Gantmacher F.R., "Theory of Matrices", Volume 2, Chelsea, New York (1989).
5. Li C., Sprott J. C., Thio W., "Linearization of the Lorenz system", Physics Letters A, 379 (2015) 888-893.
6. Kuznetsov Y. A., "Elements of Applied Bifurcation Theory", New York, Springer-Verlag, Third edition (2004).
7. Tigan G., "Analysis of a 3D chaotic system", Chaos Soliton Fractals 36 (2008) 1315-1319.
8. Tigan G., "Bifurcation and stability in a system derived from the Lorenz system", Sci. Bull. Politehnica Univ.Timisoara Tomal 50(64) (Fascicola 1) (2005) 61-72.
9. Tigan G., "Hopf Bifurcation in the T system", Mathematical Bulletin 30 (2006) 9-16.
10. Yang T., "A Survey of chaotic secure communication system", International Journal of Computational Cognition", 2 (2004) 81-130.
11. Yang Q., ChenY., "Complex Dynamics in the Unified Lorenz-Type System", International Journal of Bifurcation and Chaos, 24(4) (2014) 1450055.